

2ο Διούρο Αναρ. ΑσκήσεωνΆσκηση 2.1

α) Βέλτιστος προβλεπτικός υποδείκτης τάξης $p=3$ (μετάδοσης Αυτοαυτοχρήτων)

$$r_x[0] = 1,05, \quad r_x[1] = 0,7, \quad r_x[2] = 0,5, \quad r_x[3] = 0,4$$

$$\alpha.1) R_x = \begin{bmatrix} r_x[0] & r_x[1] & r_x[2] & r_x[3] \\ r_x[1] & r_x[0] & r_x[1] & r_x[2] \\ r_x[2] & r_x[1] & r_x[0] & r_x[1] \\ r_x[3] & r_x[2] & r_x[1] & r_x[0] \end{bmatrix} = \begin{bmatrix} 1,05 & 0,7 & 0,5 & 0,4 \\ 0,7 & 1,05 & 0,7 & 0,5 \\ 0,5 & 0,7 & 1,05 & 0,7 \\ 0,4 & 0,5 & 0,7 & 1,05 \end{bmatrix}$$

▷ Η παραπάνω αυτοαυτοχρήτων είναι θετικά ορισμένη $\Leftrightarrow R_x$ θετικά ορισμένη.

Θα πρέπει όλες οι υποπίε υποπίε να είναι θετικές. Πρώτον,

$$\Delta_1 = \det[1,05] = 1,05 > 0$$

$$\Delta_2 = \det \begin{bmatrix} 1,05 & 0,7 \\ 0,7 & 1,05 \end{bmatrix} = 0,6125 > 0$$

$$\Delta_3 = \det \begin{bmatrix} 1,05 & 0,7 & 0,5 \\ 0,7 & 1,05 & 0,7 \\ 0,5 & 0,7 & 1,05 \end{bmatrix} = 0,356125 > 0$$

$$\Delta_4 = \det \begin{bmatrix} 1,05 & 0,7 & 0,5 & 0,4 \\ 0,7 & 1,05 & 0,7 & 0,5 \\ 0,5 & 0,7 & 1,05 & 0,7 \\ 0,4 & 0,5 & 0,7 & 1,05 \end{bmatrix} = 0,209781 > 0$$

α.2) Levinson - Durbin: $E^{(0)} = r_x[0] = 1,05$

για $i=1$: $K_1 = -\frac{r_x[1]}{E^{(0)}} = -\frac{0,7}{1,05} = -0,667$

$$a_1^{(1)} = -K_1 = 0,667$$

$$E^{(1)} = (1 - K_1^2) E^{(0)} = 0,592$$

Ta7n i=2:

$$k_2 = - \frac{(r_x[2] - a_1^{(1)} r_x[1])}{E^{(1)}} = - \frac{0,5 - 0,667 \cdot 0,7}{0,592} = -0,055$$

$$a_2^{(2)} = -k_2 = 0,055$$

$$a_1^{(2)} = a_1^{(1)} + k_2 a_1^{(1)} = 0,667 - 0,055 \cdot 0,667 = 0,629$$

$$E^{(2)} = (1 - k_2^2) E^{(1)} = 0,590$$

Ta7n i=3=p:

$$k_3 = - \frac{(r_x[3] - (a_1^{(2)} r_x[2] + a_2^{(2)} r_x[1]))}{E^{(2)}} =$$

$$= - \frac{(0,4 - (0,629 \cdot 0,5 + 0,055 \cdot 0,7))}{0,59} = -0,079$$

$$a_3^{(3)} = -k_3 = 0,079$$

$$a_2^{(3)} = a_2^{(2)} + k_3 a_1^{(2)} = 0,055 - 0,079 \cdot 0,629 = 0,005$$

$$a_1^{(3)} = a_1^{(2)} + k_3 a_2^{(2)} = 0,629 - 0,079 \cdot 0,055 = 0,624$$

$$E^{(3)} = (1 - k_3^2) \cdot E^{(2)} = 0,578$$

Apo LPC = $(a_1, a_2, a_3) = (0,624, 0,005, 0,079)$

PARCOR = $(k_1, k_2, k_3) = (-0,667, -0,055, -0,079)$

B) $P=4$

LPC: $a_1^{(4)} = 0,93$, $a_2^{(4)} = 0,338$, $a_3^{(4)} = -1,065$, $a_4^{(4)} = 0,5$

Ta7n i=4=p: $k_4 = -a_4^{(4)} = -0,5$

$$a_1^{(3)} = \frac{a_1^{(4)} - k_4 a_3^{(4)}}{1 - k_4^2} = 0,53$$

$$a_2^{(3)} = \frac{a_2^{(4)} - k_4 \cdot a_2^{(4)}}{1 - k_4^2} = 0,676$$

$$a_3^{(3)} = \frac{a_3^{(4)} - k_4 \cdot a_1^{(4)}}{1 - k_4^2} = -0,8$$

τάξη $i=3$:

$$k_3 = -a_3^{(3)} = 0,8$$

$$a_1^{(2)} = \frac{a_1^{(3)} - k_3 \cdot a_2^{(3)}}{1 - k_3^2} = -0,03$$

$$a_2^{(2)} = \frac{a_2^{(3)} - k_3 \cdot a_1^{(3)}}{1 - k_3^2} = 0,7$$

τάξη $i=2$:

$$k_2 = -a_2^{(2)} = -0,7$$

$$a_1^{(1)} = \frac{a_1^{(2)} - k_2 \cdot a_2^{(2)}}{1 - k_2^2} = -0,1$$

τάξη $i=1$:

$$k_1 = -a_1^{(1)} = 0,1$$

$$\text{Απο } \text{PARCOR} = (k_1, k_2, k_3, k_4) = (0,1, -0,7, 0,8, -0,5)$$

Άσκηση 2.2

Παρακάτω φαίνεται η υλοποίηση στο jupyter.

In [65]:

```
import numpy as np
import matplotlib.pyplot as plt
import scipy.signal
```

In [66]:

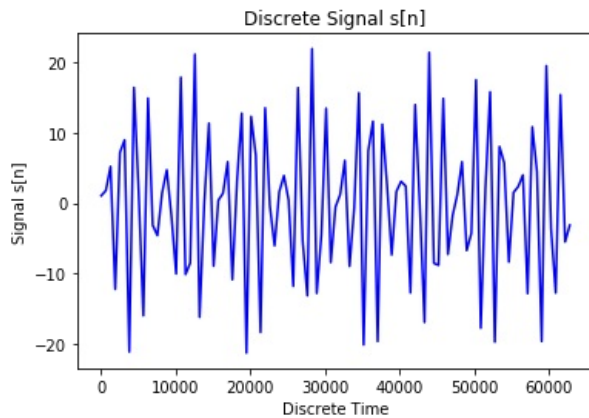
```
# Implementation of  $s[n]$  discrete signal
```

```
N = 101 # number of samples
n_s = np.linspace(0, 2*np.pi*10000, N)
s_n = 10*np.cos(0.24*np.pi*n_s + 0.2*np.pi) + 12*np.sin(0.26*np.pi*n_s - 0.8*np.pi)

plt.plot(n_s, s_n, color = 'blue')
plt.xlabel('Discrete Time')
plt.ylabel('Signal  $s[n]$ ')
plt.title('Discrete Signal  $s[n]$ ')
```

Out[66]:

Text(0.5, 1.0, 'Discrete Signal $s[n]$ ')



In [67]:

```
# Question (a)
# Calculation of DFT  $X[k]$  of  $x[n]$  for  $N \gg 100$ 

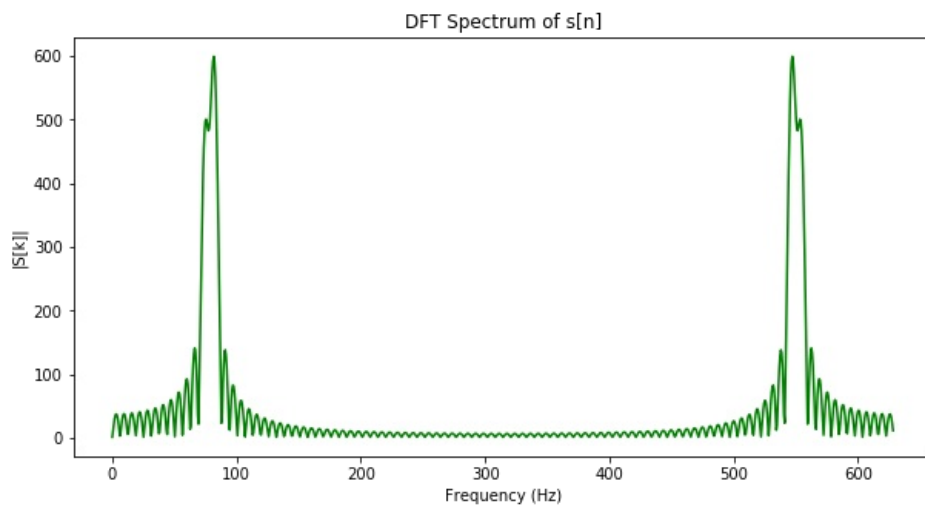
N = 101 # number of samples
n_s = np.arange(N)
s_n = 10*np.cos(0.24*np.pi*n_s + 0.2*np.pi) + 12*np.sin(0.26*np.pi*n_s - 0.8*np.pi)

N_new = 1024 # new number of samples
n_dft = np.linspace(0, 2*np.pi*100, N_new)
s_dft = np.fft.fft(s_n, N_new)

plt.figure(figsize = (10, 5))
plt.plot(n_dft, np.abs(s_dft), color = 'green')
plt.xlabel('Frequency (Hz)')
plt.ylabel('|S[k]|')
plt.title('DFT Spectrum of s[n]')
```

Out[67]:

Text(0.5, 1.0, 'DFT Spectrum of s[n]')



In [68]:

```
# Question (b)
# Covariance Method for Linear Prediction of  $s[n]$  & LPC

# LPC factors
p = 4 # predictor's class
n_s = np.arange(-p, N) # conversion of the values of the initial signal in  $[-p, N-1]$ 
s_n = 10*np.cos(0.24*np.pi*n_s + 0.2*np.pi) + 12*np.sin(0.26*np.pi*n_s - 0.8*np.pi)

synolo = np.zeros(shape = (p+1, p+1))
fi = np.zeros(shape = (p+1, p+1)) # array of  $\Phi$  ("fi")
psi = np.zeros(p+1) # array of  $\Psi$  ("psi")

for i in range(0, p+1):
    for j in range(0, p+1):
        synolo = 0
        for k in range(p, N-1):
            synolo += s_n[k-i]*s_n[k-j]
        fi[i, j] = synolo

psi = fi[1:p+1, 0]
fi = fi[1:p+1, 1:p+1]

inv_fi = np.linalg.inv(fi) # inverse array of  $\Phi$ 

ak = np.zeros(p+1) # array of LPC factors
ak = inv_fi.dot(psi)

print("The LPC factors with Covariance Method are:")
for i in range(4):
    print(ak[i], sep = '\n')

print('\n')

# Polynomial of Transfer Function with the Covariance Method

cov_pol = [1, -ak[0], -ak[1], -ak[2], -ak[3]]
roots = np.roots(cov_pol) # roots of polynomial

print("The roots of the polynomial with the Covariance Method are:")
for i in range(4):
    print(roots[i], sep = '\n')
```

The LPC factors with Covariance Method are:

```
2.827031466701328
-3.9960534568601815
2.8270314667033745
-1.0000000000015916
```

The roots of the polynomial with the Covariance Method are:

```
(0.6845471059315216+0.7289686274177213j)
(0.6845471059315216-0.7289686274177213j)
(0.7289686274191445+0.6845471059333642j)
(0.7289686274191445-0.6845471059333642j)
```

In [69]:

```
# Question (c)
# Similar to (b) but with Autocorrelation Method using the same part of the
# initial signal of 101 points with a Hamming Window w[n]

# LPC factors
p = 4 # predictor's class
n_s = np.arange(-p, N+p) # conversion of the values of the initial signal in [-p, N+p-1]
s_n = 10*np.cos(0.24*np.pi*n_s + 0.2*np.pi) + 12*np.sin(0.26*np.pi*n_s - 0.8*np.pi)

# Hamming Window
win = np.hamming(N + 2*p)
s_n *= win

synolo2 = np.zeros(shape = (p+1, p+1))
fi2 = np.zeros(shape = (p+1, p+1)) # array of  $\Phi$  ("fi")
psi2 = np.zeros(p+1) # array of  $\Psi$  ("psi")

for i in range(0, p+1):
    for j in range(0, p+1):
        synolo2 = 0
        for k in range(p, N+p-1):
            synolo2 += s_n[k-i]*s_n[k-j]
        fi2[i, j] = synolo2

psi2 = fi2[1:p+1, 0]
fi2 = fi2[1:p+1, 1:p+1]

inv_fi2 = np.linalg.inv(fi2) # inverse array of  $\Phi$ 

ak2 = np.zeros(p+1) # array of LPC factors
ak2 = inv_fi2.dot(psi2)

print("The LPC factors with Autocorrelation Method are:")
for i in range(4):
    print(ak2[i], sep = '\n')

print('\n')

# Polynomial of Transfer Function with the Covariance Method

cov_pol2 = [1, -ak2[0], -ak2[1], -ak2[2], -ak2[3]]
roots2 = np.roots(cov_pol2) # roots of polynomial

print("The roots of the polynomial with the Autocorrelation Method are:")
for i in range(4):
    print(roots2[i], sep = '\n')
```

The LPC factors with Autocorrelation Method are:

```
2.81008137147046
-3.96788397503326
2.806618588426886
-0.9975195677652664
```

The roots of the polynomial with the Autocorrelation Method are:

```
(0.6718062546584069+0.7400231531877013j)
(0.6718062546584069-0.7400231531877013j)
(0.7332344310768233+0.6789163610868757j)
(0.7332344310768233-0.6789163610868757j)
```

In [61]:

```
# Depiction of Hamming Windowed Signal
```

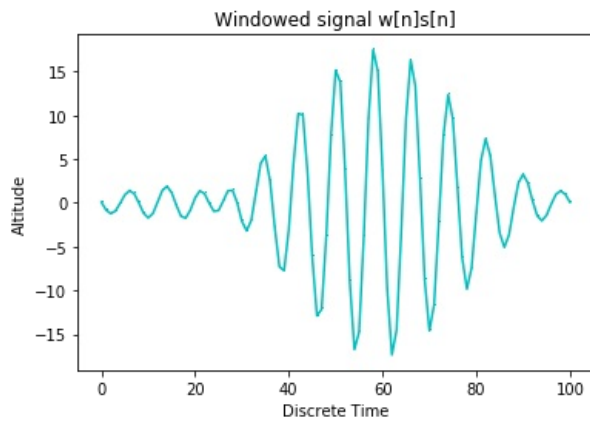
```
n_s = np.arange(0, N)
s_n = 10*np.cos(0.24*np.pi*n_s + 0.2*np.pi) + 12*np.sin(0.26*np.pi*n_s - 0.8*np.pi)

win = np.hamming(N)
s_n *= win

plt.plot(n_s, s_n, marker = ',', color = 'c')
plt.xlabel('Discrete Time')
plt.ylabel('Altitude')
plt.title('Windowed signal w[n]s[n]')
```

Out[61]:

```
Text(0.5, 1.0, 'Windowed signal w[n]s[n]')
```



In [78]:

```
# Question (d)
# Depiction of the above approximations of spectrum

# N = 101 # number of samples
# N_new = 1024
n_s = np.arange(N)
s_n = 10*np.cos(0.24*np.pi*n_s + 0.2*np.pi) + 12*np.sin(0.26*np.pi*n_s - 0.8*np.pi)

covar,covar2 = scipy.signal.freqz([1], cov_pol, whole = True)

autoc,autoc2 = scipy.signal.freqz([1], cov_pol2, whole = True)

n_dft2 = np.linspace(0, 2*np.pi, N_new)
s_dft2 = np.fft.fft(s_n, N_new)

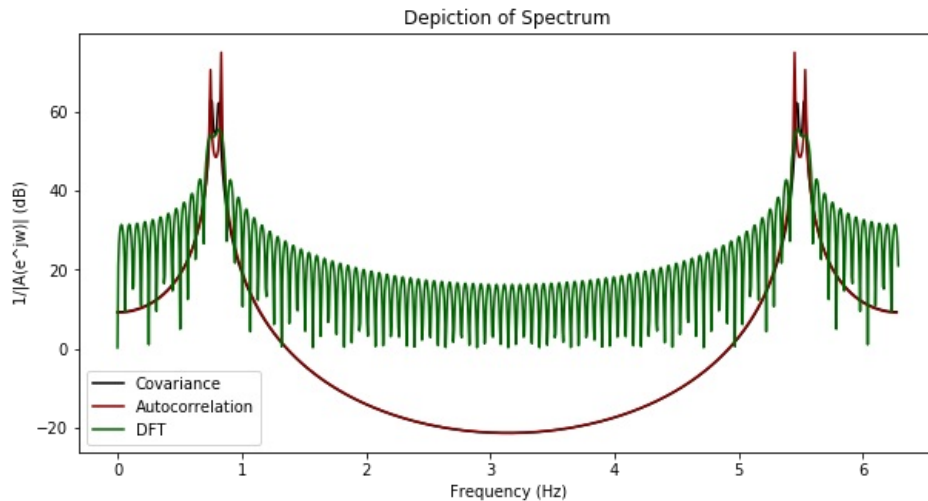
plt.figure(figsize = (10, 5))

plt.plot(covar, 20*np.log10(abs(covar2)), color = 'black')
plt.plot(autoc, 20*np.log10(abs(autoc2)), color = 'darkred')
plt.plot(n_dft2, 20*np.log10(abs(s_dft2)), color = 'darkgreen')

plt.xlabel("Frequency (Hz)")
plt.ylabel("1/|A(e^jw)| (dB)")
plt.legend(["Covariance", "Autocorrelation", "DFT"])
plt.title("Depiction of Spectrum")
```

Out[78]:

Text(0.5, 1.0, 'Depiction of Spectrum')



In [79]:

```
# Question (e)

# By comparing the above the spectrums of Question (d), it can be concluded
# that the approximations were able to find the real frequencies of the signal s[n].
# From the above depiction, it can also be seen that the areas around these
# two approximations are very close to the DFT Spectrum, which means that they
# are both accurate methods.
```

In []:

Answer 2.3

απαιτούμενη ΓΧΑ αναφέρεται: $H(z) = \frac{(1 - 0,8z^{-1}) \cdot (1 + 0,25z^{-2})}{(1 - 0,49z^{-2})}$

a) $H_{1,\min}(z) = j$, $H_{ap}(z) = j \Rightarrow H(z) = H_{1,\min}(z) \cdot H_{ap}(z)$

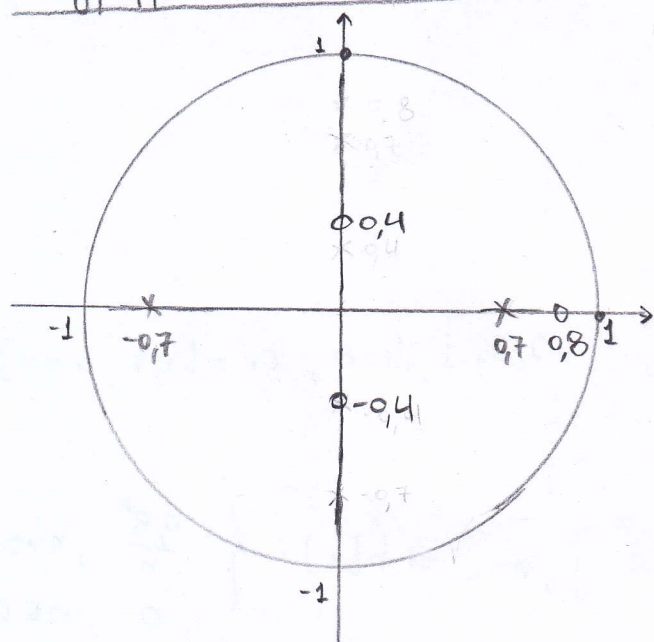
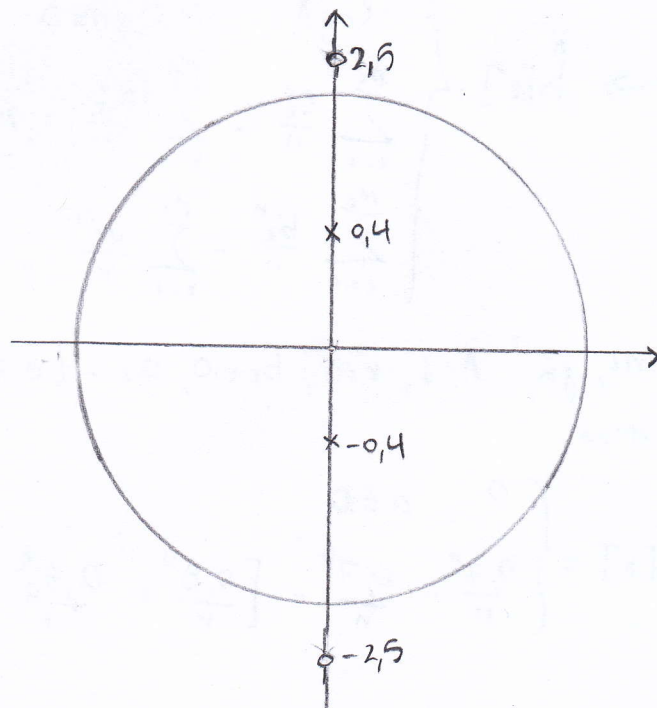
$$E_{\text{part}}: H(z) = \frac{(1 - 0,8z^{-1})(1 + 6,25z^{-2})}{(1 - 0,49z^{-2})} = \frac{(1 - 0,8z^{-1})(1 + 2,5jz^{-1})(1 - 2,5jz^{-1})}{(1 - 0,7z^{-1})(1 + 0,7z^{-1})}$$

Κάθε στοιχείο ελάχιστης φάσης έχει όλους τους πόλους και το μηδέν του
πέρα στον μοναδιαίο κύκλο $|z|=1$. Για τα συστήματα all-pass ισχύει ότι οι
πόλοι και το μηδέν είναι σε θέση αντιστροφών συζυγών δέσμων.

$H_{1, \min}(z) = \frac{(1 - 0,8z^{-1})(1 + 0,16z^{-2})}{(1 - 0,49z^{-2})} = \frac{(1 - 0,8z^{-1})(1 + 0,4jz^{-1})(1 - 0,4jz^{-1})}{(1 - 0,7z^{-1})(1 + 0,7z^{-1})}$

$$H_{ap}(z) = \frac{(1 + 6,25 z^{-2})}{(1 + 0,16 z^{-2})} = \frac{(1 + 2,5j z^{-1})(1 - 2,5j z^{-1})}{(1 + \underbrace{0,4j z^{-1}}_{=-b})(1 - \underbrace{0,4j z^{-1}}_{=-a})}$$

β) Διάγραμμα Πόλων - Μηδενιών.


$$H_{1, \min}(z)$$

$$H_{ap}(z)$$

neproxn arguments: $|z| > 0.7$

$$|z| > |a| = |b| = 0,4$$

δ) Ένα FIR σύστημα χαρακτηρίζεται από τους πόλους & μηδενικά στο επίπεδο $z = 1, -1, 0, \infty$ ή σε συνιστώσα ως εξής. Επομένως:

$$H_2(z) = \frac{(1 - 0,8z^{-1})}{(1 - 0,49z^{-2})(1 + 0,16z^{-2})} \quad \text{και}$$

$$H_{fin}(z) = (1 + 0,16z^{-2})(1 + 6,25z^{-2})$$

Άσκηση 2.4

a) complex cepstrum $\hat{h}[n]$ & αλτός cepstrum $c[n]$;

cepstrum

$$H(z) = \frac{(1 - 0,8z^{-1})(1 + 6,25z^{-2})}{(1 - 0,49z^{-2})} = \frac{(1 - 0,8z^{-1})(1 + 2,5jz^{-1})(1 - 2,5jz^{-1})}{(1 - 0,7z^{-1})(1 + 0,7z^{-1})}$$

complex cepstrum

$$\text{Γενικά, } H(z) = A z^r \frac{\prod_{k=1}^{M_1} (1 - a_k z^{-1}) \prod_{k=1}^{M_0} (1 - b_k z)}{\prod_{k=1}^{N_1} (1 - c_k z^{-1}) \prod_{k=1}^{N_0} (1 - d_k z)} \quad , |a_k|, |b_k|, |c_k|, |d_k| < 1$$

$$\rightarrow \hat{h}[n] = \begin{cases} \log A & , n=0 \\ \sum_{k=1}^{N_1} \frac{c_k^n}{n} - \sum_{k=1}^{M_1} \frac{a_k^n}{n} & , n>0 \\ \sum_{k=1}^{M_0} \frac{b_k^{-n}}{n} - \sum_{k=1}^{N_0} \frac{d_k^{-n}}{n} & , n<0 \end{cases}$$

Οπότε, για $A=1, r=0, b_k=0, a_k=[0,8, 2,5j, -2,5j], d_k=0, c_k=[0,7, -0,7]$ γίνεται:

$$\hat{h}[n] = \begin{cases} 0 & , n \leq 0 \\ 0,7^n - 0,7^n - \left[\frac{0,8^n}{n} + \frac{(2,5j)^n}{n} - \frac{(2,5j)^n}{n} \right] & , n>0 \end{cases} \Rightarrow \hat{h}[n] = \begin{cases} -\frac{0,8^n}{n} & , n>0 \\ 0 & , n \leq 0 \end{cases}$$

αλτός cepstrum

$$c[n] = \frac{\hat{h}[n] + \hat{h}[-n]}{2}$$

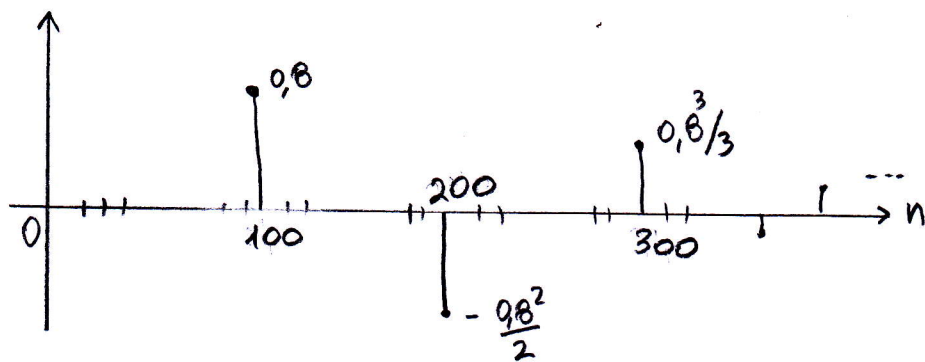
$$c[n] = \begin{cases} \frac{1}{2n} [0,8^{-n} - 0,8^n] & , n>0 \\ 0 & , n \leq 0 \end{cases}$$

β) $x[n] = \delta[n] + 0,8 \delta[n - N_p]$, $N_p = 100$

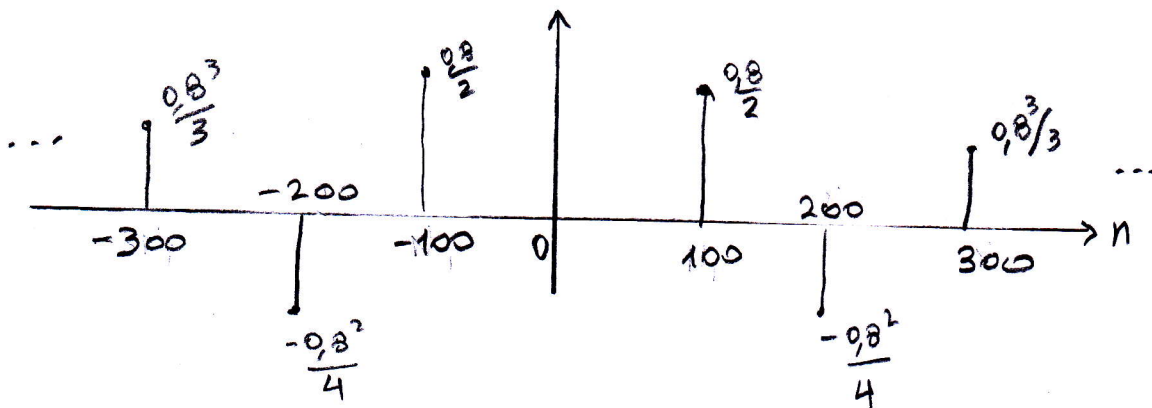
β.1) $\hat{x}[n]$;

$$X(z) = 1 + 0,8 z^{-N_p} \leadsto \hat{X}(z) = \log X(z) = \sum_{n=-1}^{\infty} (-1)^{n+1} \frac{0,8^n}{n} z^{-10n}$$

$$\hat{x}[n] = \sum_{m=1}^{\infty} (-1)^{m+1} \frac{0,8^m}{m} \delta[n - 10m] \quad (1)$$



β.2) $c[n] = \frac{\hat{x}[n] + \hat{x}[-n]}{2} = \frac{1}{2} \sum_{k=1}^{\infty} (-1)^{k+1} \cdot \frac{0,8^k}{k} [\delta[n - 100k] + \delta[-n - 100k]]$



β.3) $\hat{X}_p[n]$ με DFT $N=500$ αν-τιών του complex cepstrum:

$$\hat{X}_p[n] = \frac{1}{N} \sum_{k=0}^{N-1} \log(X[k]) \exp(j 2\pi k n / N) , n=0, \dots, N-1$$

για $N=550$;

• $\frac{N}{N_p} = \frac{500}{100} = 5$

$\hat{X}_p[n] = \sum_{r=-\infty}^{+\infty} \hat{x}[n + 500r]$: περιοδική επανάληψη με περίοδο $N=500$ και υπάρχει όλων των επαναλήψεων. Αυτός θα δημιουργήσει aliasing στα πρόσω.

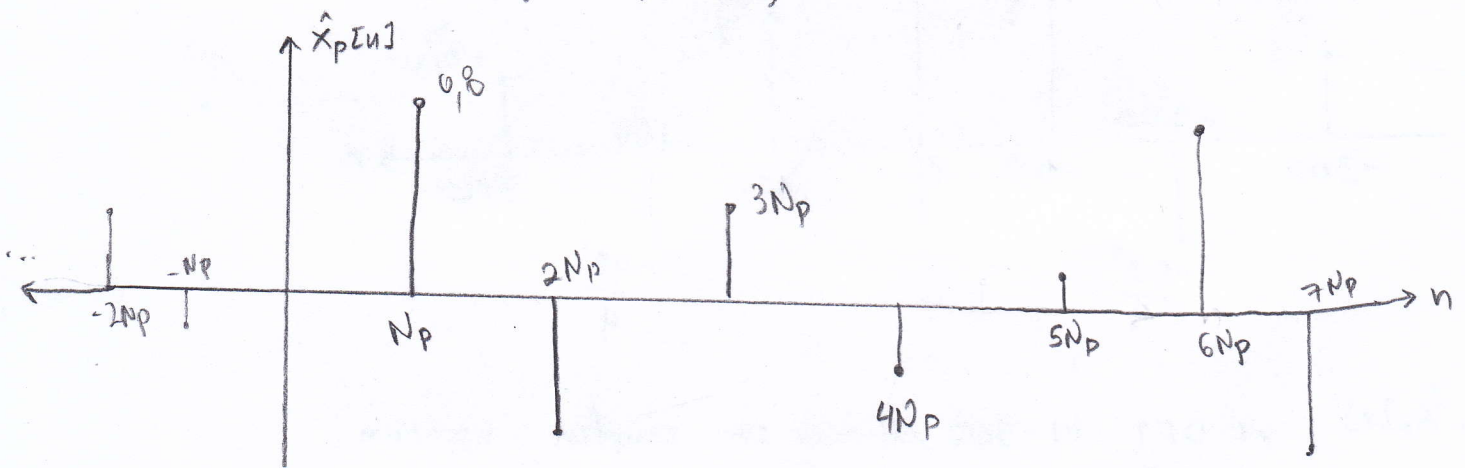
$$\hat{X}_p[n] = \sum_{r=-\infty}^{+\infty} \hat{x}[n+500r] \stackrel{(1)}{\Rightarrow}$$

$$\Rightarrow \hat{X}_p[n] = \sum_{r=-\infty}^{+\infty} \sum_{k=1}^{\infty} (-1)^{k+1} \cdot \frac{0,8^k}{k} \delta[n+500r-100k] \Rightarrow$$

$$\Rightarrow \hat{X}_p[n] = \sum_{k=1}^{\infty} (-1)^{k+1} \cdot \frac{0,8^k}{k} \cdot \sum_{r=-\infty}^{+\infty} \delta[n+500r-100k]$$

Παρατήρηση: Από (1), η προσέγγιση κατά DFT του Cepstrum αφορά ορίσματα κατά $N=500$ του complex cepstrum πάνω σε όλο τον οριζόντιο άξονα. Το Cepstrum έχει μη μηδενικές τιμές στα πολλαπλάσια του $N_p=100$. Επομένως, αν το N_p δεν διαιρεί το N θα συμπεριληφθούν τιμές λάθους αυτές και θα αλλάξωθει το πηλίκο. Σε άλλη περίπτωση, δηλ. αν το N_p διαιρεί το N , η ορίσση κατά N πάνω σε όλο τον άξονα θα αλλάξει μόνο τα πλάτη των τιμών στα πολλαπλάσια του N_p και έτσι, η απλοποίηση δεν θα γίνει. Για να $\frac{N}{N_p} = S$ ορίστω, έχουμε:

Η προηγούμενη περίπτωση με $N_p=100, N=500$ είναι:



• Επομένως, με $N=550$: έχουμε $N_p \times N$ το $\hat{X}_p[n]$ θα έχει μη-μηδενικές τιμές και αυτές από τα πολλαπλάσια του N_p .

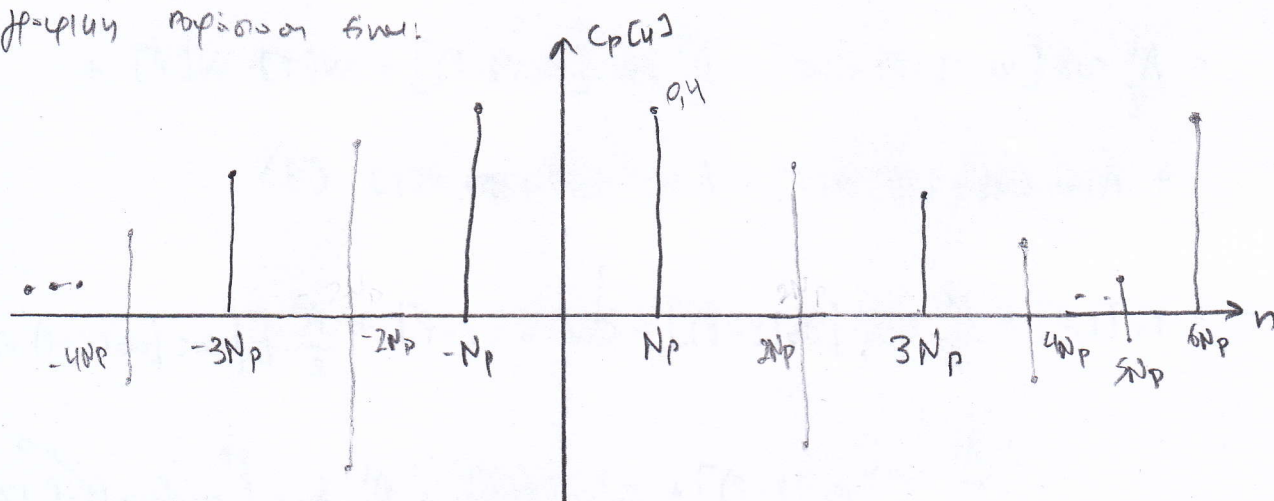
B.4) Όπως, $t \in (\beta.3)$

$$C_p[u] = \frac{1}{N} \sum_{k=0}^{N-1} \log |x[k]| \exp(j 2\pi k \frac{n}{N}), \quad n=0, \dots, N-1$$

$$\hat{C}_p[u] = \sum_{r=-\infty}^{+\infty} \hat{C}[n + 500r]$$

$$C_p[u] = \frac{1}{2} \sum_{k=1}^{\infty} (-1)^{k+1} \cdot \frac{0.8^k}{k} \cdot \sum_{r=-\infty}^{+\infty} [\delta[n - 100k + 500r] + \delta[-n + 500r + 100k]]$$

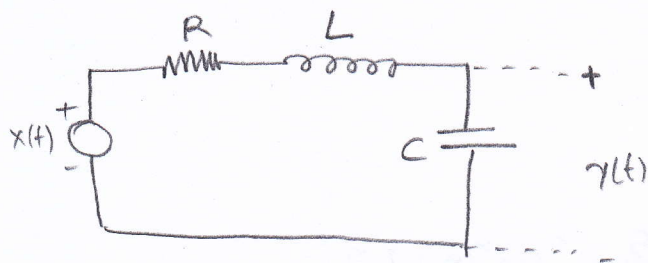
Παρατήρηση: Υποθέτουμε ορισμένη τιμή $N=500$ νέων σε δύο τον οριζόντιο άξονα, σε αυτή την περίπτωση το ημι-συντελεστή cepstrum. Για τους ίδιους λόγους $t \in (\beta.3)$, p η συνάρτηση διττοσύνης ακολουθεί την κατανομή, δηλ. Εξαρτάται από την τιμή N_p να διαφέρει από N .
Η ημι-συνάρτηση ορίζεται είναι:



B.5) $N_p=100$

Θα πρέπει $N > 2 \cdot N_p$ για να αποφύγουμε aliasing

Οι μεγαλύτερες προσαρμοσμένες αυτισμοί σε 2 spikes που ορίζουν N_p από την αρχή του άξονα (αξία & αρνητική ομοιογένεια). Όπως παρατηρούμε, η προσέγγιση της DFT γίνεται μια ορισμένη τιμή N νέων στον οριζόντιο άξονα. Για να αποφύγουμε aliasing πρέπει να N να είναι αρκετά μεγάλο ώστε η ορισμένη τιμή N να είναι από $2N_p$ και να διπλασιαστεί το μήκος spike. Συνεπώς, $t \in$ δύο άξονα & πρέπει $N_{\min} = 2N_p + 1$.



a) in: $x(t)$ output voltage
out: $y(t)$ output voltage

NTK:

$$V_R(t) + V_L(t) + V_C(t) = U_n(t) \Rightarrow i(t) \cdot R + L \frac{di(t)}{dt} + V_C(t) = U_n(t)$$

опред., $V_C(t) = y(t)$ и $U_n(t) = x(t)$ ищем:

$$i(t) \cdot R + L \frac{di(t)}{dt} + y(t) = x(t)$$

Емкость, тогда: $i(t) = C \cdot \frac{dV_C(t)}{dt} = C \frac{dy(t)}{dt}$

Апо, $x(t) = C \frac{dy(t)}{dt} R + L \frac{d}{dt} \left[C \frac{dy(t)}{dt} \right] + y(t) \Rightarrow$

$$\Rightarrow x(t) = CR \frac{dy(t)}{dt} + LC \cdot \frac{d^2 y(t)}{dt^2} + y(t) \Rightarrow$$

$$\Rightarrow x(t) = LC \cdot \frac{d^2 y(t)}{dt^2} + CR \frac{dy(t)}{dt} + y(t) \quad (1)$$

Где $\frac{R}{L} = 2$, $LC = 0,2 \Rightarrow RC = 0,4$

$\mathcal{L}\{ (1) \} \Rightarrow X(s) = 0,2 [s^2 Y(s) - s y(0) - y'(0)] + 0,4 [s Y(s) - y(0)] + Y(s)$

Где предположим $y(0) = y'(0) = 0$: $X(s) = [0,2 s^2 + 0,4 s + 1] Y(s)$

Кол $H_0(s) = \frac{Y(s)}{X(s)} = \frac{1}{0,2 s^2 + 0,4 s + 1} = \frac{5}{(s+1+2j)(s+1-2j)}$

116

$$h_0(t) = \mathcal{L}^{-1} \left\{ \frac{5}{s^2 + 2s + 5} \right\} = \frac{5}{2} e^{-t} \sin 2t$$

β) Από αναλογισμούς σε ψηφιακό $T=1$ και $T=1$ έχουμε impulse invariance ($h[n] = h_a(nT)$)

$$h[n] = j \quad T=1$$

$$\triangleright h_a(t) = \frac{5}{2} e^{-t} \sin 2t$$

$$\triangleright h[n] = h_a(nT) = \frac{5}{2} e^{-nT} \sin 2nT \xrightarrow{T=1} h[n] = \frac{5}{2} \cdot e^{-n} \cdot \sin 2n \cdot u[n]$$

$$\text{in: } x[n] = x_a(nT) = x[n]$$

$$y[n] = y_a(nT) = y[n]$$

$$\delta) H(z) = j$$

Από (α): $H_a(s) = \frac{1}{0.2s^2 + 0.4s + 1}$ με $T=1$ και αναλογισμούς σε ανάλογα, γίνεται:

$$\left(\text{Γενική μορφή: } H_a(s) = \sum_{k=1}^N \frac{c_k}{s - p_k} \right) \quad H_a(s) = \frac{5}{(s+1+2j)(s+1-2j)} \Rightarrow$$

$$\Rightarrow H_a(s) = \frac{5}{4} j \frac{1}{s+1+2j} - \frac{5}{4} j \frac{1}{s+1-2j}$$

$$\left(\text{Γενική μορφή: } H(z) = \sum_{k=1}^N \frac{c_k}{1 - e^{p_k T} z^{-1}} \right)$$

$$\Rightarrow H(z) = \frac{5}{4} j \frac{1}{1 - e^{-(1+2j)} z^{-1}} - \frac{5}{4} j \frac{1}{1 - e^{-(1-2j)} z^{-1}}$$

$$\Rightarrow H(z) = \frac{Y(z)}{X(z)} \Rightarrow \frac{Y(z)}{X(z)} = \frac{\frac{5}{4} j [e^{-(1+2j)} - e^{-(1-2j)}] z^{-1}}{e^{-2} z^{-2} - z^{-1} (e^{-(1+2j)} + e^{-(1-2j)})} \Rightarrow$$

$$\Rightarrow y[n] - (e^{-(1+2j)} + e^{-(1-2j)}) y[n-1] + e^{-2} y[n-2] = \frac{5}{4} j (e^{-(1+2j)} - e^{-(1-2j)}) x[n-1]$$

δ) Απόκριση ολίσκου ψηφιακή:

$$H_a(j\Omega) = \frac{1}{0.2(j\Omega)^2 + 0.4j\Omega + 1} = \frac{5}{s^2 + 2s + 5}$$

Παρατίθεται φαίνεται η υλοποίηση στο jupyter.

$$H(e^{j\omega}) = \frac{5}{4} j \frac{1}{1 - e^{-(1-2j)} (e^{j\omega})^{-1}} - \frac{5}{4} j \frac{1}{1 - e^{-(1+2j)} (e^{j\omega})^{-1}} = \frac{\frac{5}{4} j (e^{-(1+2j)} - e^{-(1-2j)}) z^{-1}}{1 - (e^{-(1-2j)} + e^{-(1+2j)}) z^{-1} + e^{-2} z^{-2}}$$

$$\Rightarrow H(e^{j\omega}) = \frac{\frac{5}{4} j e^{-1} [e^{-2j} - e^{2j}] z^{-1}}{1 + e^{-1} [e^{2j} + e^{-2j}] z^{-1} + e^{-2} z^{-2}} = \frac{\frac{5}{2} e^{-1} \sin 2 z^{-1}}{1 + 2e^{-1} \cos 2 z^{-1} + e^{-2} z^{-2}}$$

Παρατίθεται φαίνεται η υλοποίηση στο jupyter.

In [1]:

```
import numpy as np
import scipy.signal
import matplotlib.pyplot as plt
```

In [8]:

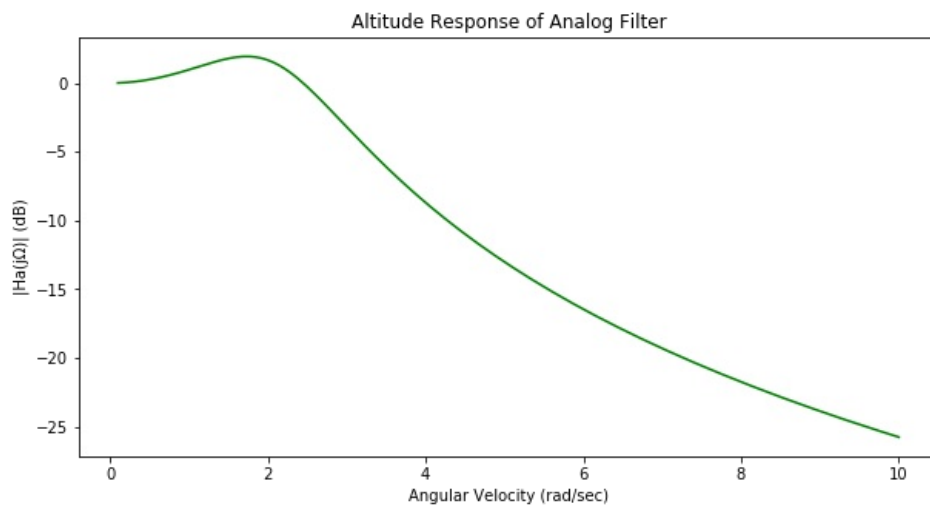
```
# Analog Filter

# factors
analog_a = [1, 2, 5]
analog_b = [0, 0, 5]
analog_w, analog_h = scipy.signal.freqs(analog_b, analog_a)

plt.figure(figsize = (10, 5))
plt.plot(analog_w, 20*np.log10(abs(analog_h)), color = 'green')
plt.xlabel('Angular Velocity (rad/sec)')
plt.ylabel('|Ha(jΩ)| (dB)')
plt.title('Altitude Response of Analog Filter')
```

Out[8]:

Text(0.5, 1.0, 'Altitude Response of Analog Filter')



In [9]:

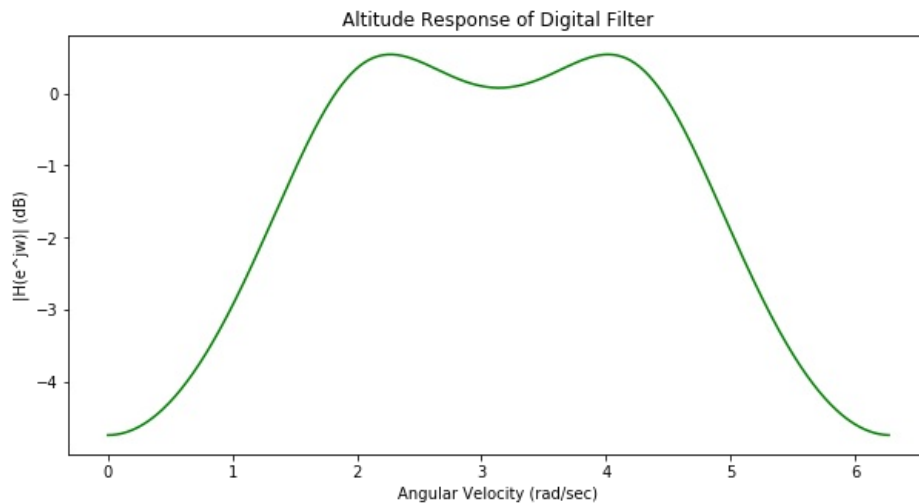
```
# Digital Filter

# factors
digital_a = [1, -2*np.cos(2)*np.exp(-1), np.exp(-2)]
digital_b = [0, 2.5*np.sin(2)*np.exp(-1), 0]
digital_w, digital_h = scipy.signal.freqz(digital_b, digital_a, whole = True)

plt.figure(figsize = (10, 5))
plt.plot(digital_w, 20*np.log10(abs(digital_h)), color = 'green')
plt.xlabel('Angular Velocity (rad/sec)')
plt.ylabel('|H(e^jw)| (dB)')
plt.title('Altitude Response of Digital Filter')
```

Out[9]:

Text(0.5, 1.0, 'Altitude Response of Digital Filter')



Άσκηση 2.6

a) $x[n] = A \cos(n\omega_0 + \phi) + w[n]$

όπου $w[n]$: λευκός θόρυβος ¹μεταβλητός
 σ_w^2 κ' αντιστοιχεί στο σ^2

α.1) A, ω_0 : σταθ.

ϕ : τυχ. μεταβλ. ομοιόμ. $[-\pi, \pi]$

$$\begin{aligned} r_x[k, l] &= E\{x[k] \cdot x^*[l]\} = E\{(A \cos(k\omega_0 + \phi) + w[k])(A \cos(l\omega_0 + \phi) + w[l])\} = \\ &= E\left\{\frac{A^2}{2} \cos[\omega_0(k+l) + 2\phi] + \frac{A^2}{2} \cos[\omega_0(k-l)] + \cancel{w[k] \cdot w[l]} + \right. \\ &\quad \left. + A \cos(\omega_0 k + \phi) \cancel{w[l]} + A \cos(\omega_0 l + \phi) \cancel{w[k]} \right\} \\ &= E\left\{\frac{A^2}{2} \cos(\omega_0(k-l))\right\} = \frac{A^2}{2} \cos[(k-l)\omega_0] + \sigma_w^2 \delta[k-l] \end{aligned}$$

• Έλεγχος WSS:

▷ $m_x[n] = E\{x[n]\} = E\{A \cos(n\omega_0 + \phi) + w[n]\} = A \cdot E\{\cos(n\omega_0 + \phi)\} = 0$ (σταθ.)

▷ $r_x[k, l] = \frac{A^2}{2} \cos[(k-l)\omega_0] + \sigma_w^2 \delta[k-l]$ (εξαρ. από $k-l$)

▷ $\text{var}[x] = \sigma_x^2[x] = E\{|x[n] - m_x[n]|^2\} = E\{x^2[n] - 2x[n]m_x[n] + m_x^2[n]\} =$
 $= E\{x^2[n]\} - 2E\{x[n]m_x[n]\} + E\{m_x^2[n]\} =$
 $= E\{A^2 \cos^2(n\omega_0 + \phi) + 2A \cos(n\omega_0 + \phi) \cdot \cancel{w[n]} + w^2[n]\} =$
 $= E\left\{\frac{A^2}{2} \cos(2n\omega_0 + 2\phi)\right\} + \frac{1}{2} = \frac{1}{2} < \infty$ (πεντηκόντη)

Άρα είναι WSS.

• Φάσμα ισχύος:

$$P_x(e^{j\omega}) = \text{DTFT}\{r_x[k]\} = \sigma_w^2 + \frac{\eta A^2}{2} \sum_{r=-\infty}^{+\infty} [\delta(\omega - \omega_0 - 2\pi r) + \delta(\omega + \omega_0 - 2\pi r)]$$

α.2) A, ϕ : σταθ

ω_0 : τυχ. μεταβλ. ομοιόμ. $[\omega_0 - \Delta, \omega_0 + \Delta]$

$$\begin{aligned} r_x[k, l] &= E\{x[k] \cdot x^*[l]\} = E\{(A \cos(k\omega_0 + \phi) + w[k])(A \cos(l\omega_0 + \phi) + w[l])\} = \\ &= E\{A^2 \cos(k\omega_0 + \phi) \cos(l\omega_0 + \phi)\} = \\ &= \frac{1}{2} A^2 E\{\cos((k-l)\omega_0)\} + \frac{1}{2} A^2 E\{\cos[(k+l)\omega_0 + 2\phi]\} = \\ &= \frac{1}{2} A^2 \cdot \frac{1}{\Delta} \cdot \sum_{m=\omega_0-\Delta}^{\omega_0+\Delta} \cos((k-l)m) + \frac{1}{2} A^2 \cdot \frac{1}{\Delta} \sum_{m=\omega_0-\Delta}^{\omega_0+\Delta} \cos[(k+l)m + 2\phi] = 0 + 0 = 0 \end{aligned}$$

$\eta = \Delta = (2L+1)\frac{\pi}{N}$ 11

• Ελεγχος WSS:

Το $r_x[k, l]$ δεν εξαρτάται από τη διαφορά $k-l$.

Δεν είναι WSS.

β) Bernoulli ανεξάρτητη: $x[n] = \begin{cases} 0 & , 1-p \text{ π.δ.} \\ 1 & , p \text{ π.δ.} \end{cases}$

$$P_r(x[n] = 1) = p$$

$$P_r(x[n] = 0) = 1-p, \quad 0 < p < 1$$

• για $k \neq l$:

$$r_x[k, l] = E\{x[k] \cdot x^*[l]\} = E\{x[k]\} \cdot E\{x[l]\} = (1 \cdot p + 0(1-p)) \cdot (1 \cdot p + 0(1-p)) = p^2$$

• για $k = l$:

$$r_x[k, l] = E\{x[k] \cdot x[k]\} = E\{x^2[k]\} = [1^2 \cdot p + 0^2(1-p)] = p$$

• Ελεγχος WSS.

$$\triangleright m_x[n] = E\{x[n]\} = 1 \cdot p + 0(1-p) = p \quad (\text{π.δ.})$$

$$\triangleright r_x[k, l] = \begin{cases} p^2, & k \neq l \\ 0, & k = l \end{cases} \quad (\text{εξαρ. από } k-l)$$

$$\begin{aligned} \triangleright \text{var}[x[n]] &= \sigma_x^2[n] = E\{|x[n] - p|^2\} = E\{x^2[n]\} - 2E\{x[n] \cdot p\} + E\{p^2\} = \\ &= p^2 - 2p + p^2 = p(1-p) < \infty \quad (\text{π.δ.}) \end{aligned}$$

Άρα είναι WSS.

• Φάσμα ισχύος:

$$P_x(e^{j\omega}) = \sum_{k=-\infty}^{+\infty} r_x[k] \cdot e^{-jk\omega} = (r_x[0] + r_x[1]e^{-j\omega} + \dots) = \begin{cases} p^2, & \omega \neq 0 \\ p, & \omega = 0 \end{cases}$$

$$= p + p^2 e^{-j\omega} + p^2 e^{-2j\omega} + \dots =$$

$$= p + p^2 \left[\sum_{n=0}^{\infty} e^{-jn\omega} - 1 \right] = p + p^2 \left[\frac{1}{1+e^{-j\omega}} - 1 \right]$$

δ) Τυχαίος περίπατος

$$X[k] = X_1 + X_2 + \dots + X_n, \quad \forall n \geq 1$$

$$E[X_i] = 0$$

$$E[X_i^2] = s^2$$

• $k \neq l$:

$$\begin{aligned} r_X[k, l] &= E\{X[k] \cdot X^*[l]\} = E\left\{\sum_{i=1}^k X_i\right\} \cdot E\left\{\sum_{i=1}^l X_i\right\} = \\ &= \sum_{i=1}^k E\{X_i\} \cdot \sum_{i=1}^l E\{X_i\} = 0 \quad (\sigma = 0) \end{aligned}$$

$k = l$:

$$r_X[k, l] = E\{X[k] \cdot X^*[k]\} = E\{X^2[k]\} = E\left\{\left(\sum_{i=1}^n X_i\right)^2\right\} = ns^2$$

• Ελάχιστος WSS:

$$\triangleright m_X[k] = E\left\{\sum_{i=1}^n X_i\right\} = 0 \quad (\sigma = 0)$$

$\triangleright r_X[k, l]$ αναλογιστικά ανεξάρτητα.

$$\triangleright \text{var}[X[k]] = \sum_{i=1}^n \text{var}[X_i] = n \cdot s^2 \quad (\mu \text{ η } n \text{ ανεξ.})$$

Δεν είναι WSS.